

## ДИНАМІКА КОЛИВАНЬ І КОМПОНУВАННЯ АВТОВОЗА

© Житенко О.В., Крайник Л.В., 2007

**Розглянуто коливання автовоза у вертикальній площині за усталеного руху. Наведена математична модель дає змогу здійснювати оптимізацію довжини колісної бази як з умов необхідності під розміщення двох легкових автомобілів на нижньому рівні, так і з умов мінімізації коливань та динамічних навантажень.**

**In the article casual vibrations are examined to the autocart in a vertical plane at even motion. Presented a mathematical model allows to conduct optimization of length of the wheeled base both from the terms of necessity under placing of two passenger cars on a lower level and from the terms of minimization of vibrations and dynamic loadings.**

**Постановка проблеми.** Компонування автовоза зумовлює низку істотних відмінностей від класичної вантажівки з причепом – необхідне збільшення колісної бази і пониження вантажної платформи (з умови розміщення автомобілів на двох рівнях при обмеженні габариту по висоті 4 м, рис. 1). Враховуючи практичну відсутність в СНД виробництва серійних спеціалізованих шасі – автовозов і необхідність проведення відповідних переробок серійного вантажного шасі, компонувальні роботи та переробка підвісок зумовлює необхідність дослідження динаміки коливань, що пов'язано з плавністю ходу, стійкістю та керованістю.

**Аналіз відомих досліджень і публікацій.** Динаміку коливань автомобіля як багатомасової системи досліджували в роботах [1–5, 8, 9]. Проте досліджень динаміки і плавності ходу саме такого спеціалізованого виду транспорту є дуже мало.

**Постановка задачі.** У цій роботі розглядатимемо випадкові коливання автовоза у вертикальній площині під час рівномірного руху по дорозі, що характеризується заданою спектральною функцією мікропрофілю. Викладаючи матеріал, будемо загалом слідувати методиці [6], але рівняння руху отримаємо, скориставшись формалізмом Лагранжа, що має очевидні методичні переваги [7].

**Основний матеріал.** Спрощена розрахункова схема автовоза показана на рис. 1. Коливання в повздовжній площині досліджуємо за умови однаковості профілю дороги під лівими і правими колесами, різниця профілю призводить до коливань у поперечній площині. Внаслідок лінійності системи і симетрії конструкції автовоза ці види коливань можна розглядати незалежно.

У разі введення лагранжіана системи доцільно зміщення відраховувати від положення статистичної рівноваги, тоді вид рівнянь не зміниться при дії сили ваги і її можна явно не вказувати. Запишемо функцію Лагранжа для руху автовоза, вибираючи за координати вертикальні переміщення переднього ( $x_1$ ) і заднього ( $x_2$ ) мостів, що розташовані на відстанях  $a$ ,  $b$  від центра мас. Висоти нерівностей дороги під передніми і задніми колесами позначимо відповідно  $f_1$  і  $f_2$ . Позначимо також:  $m_1$ ,  $m_2$  – невідраховані маси переднього і заднього мостів;  $M$ ,  $I$  – маса кузова і його момент інерції щодо центральної осі, що проходить перпендикулярно до площини рисунка;  $c_0$  – жорсткість шин;  $c_1$ ,  $c_2$ ,  $\alpha_1$ ,  $\alpha_2$  – жорсткості підвісок і коефіцієнти в'язкого тертя (за  $c$  і  $\alpha$  беруть сумарні величини для лівих і правих елементів підвесування).

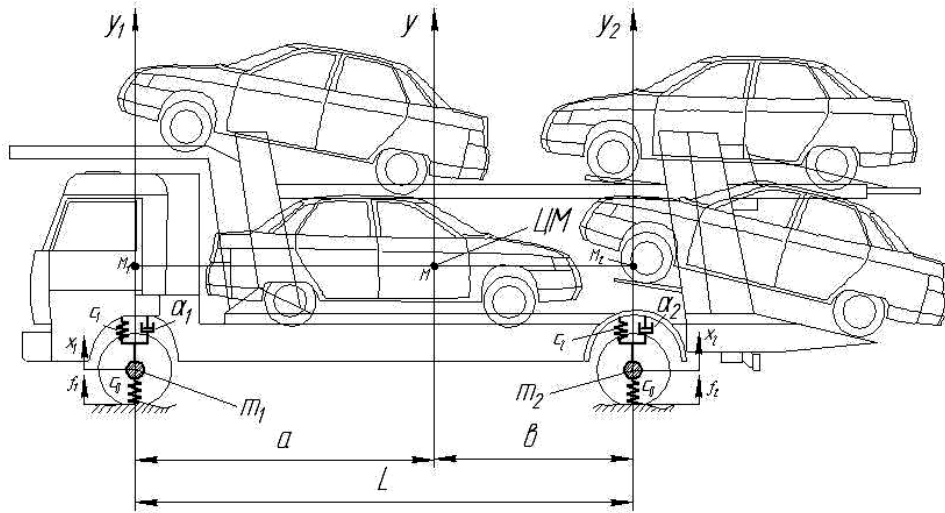


Рис. 1. Спрощена розрахункова схема автовоза

У такому разі кінетичну енергію системи запишемо як

$$T = \frac{1}{2} m_1 \dot{x}_1^2 + \frac{1}{2} m_2 \dot{x}_2^2 + \frac{1}{2} (M_1 - M_3) \dot{y}_1^2 + \dots + \frac{1}{2} (M_2 - M_3) \dot{y}_2^2 + \frac{1}{2} M_3 (\dot{y}_2 - \dot{y}_1)^2 \quad (1)$$

де введено ефективні маси

$$M_1 = \frac{a^2 + J/M}{(a+b)^2} M, \quad M_2 = \frac{b^2 + J/M}{(a+b)^2} M, \quad M_3 = \frac{ab - J/M}{(a+b)^2} M.$$

Потенціальна енергія

$$U = \frac{1}{2} c_0 (x_1 - f_1)^2 + \frac{1}{2} c_1 (y_1 - x_1)^2 + \dots + \frac{1}{2} c_0 (x_2 - f_2)^2 + \frac{1}{2} c_2 (y_2 - x_2)^2 \quad (2)$$

дисипативна функція

$$R = \frac{1}{2} \alpha_1 (\dot{x}_1 - \dot{y}_1)^2 + \frac{1}{2} \alpha_2 (\dot{x}_2 - \dot{y}_2)^2. \quad (3)$$

Сили тертя  $\varphi_i = -\frac{\partial R}{\partial \dot{q}_i}$ , (позначаємо  $q_i = \{x_1, y_1, x_2, y_2\}$  – узагальнені координати з індексами

$i = 1..4$ ) потрібно додати до правої частини рівнянь Лагранжа [8]:

$$\frac{d}{dt} \frac{\partial L}{\partial \dot{q}_i} = \frac{\partial L}{\partial q_i} - \frac{\partial R}{\partial \dot{q}_i}, \quad (4)$$

де функція Лагранжа  $L = T - U$ , а вирази для  $T$ ,  $U$ ,  $R$  задані формулами (1)–(3) відповідно.

Використовуючи стандартний Лагранжів формалізм [6–9], рівняння руху автомобіля отримано у вигляді

$$\begin{cases} m_1 \ddot{x}_1 + c_0 (x_1 - f_1) - c_1 (y_1 - x_1) - \dots \\ \quad - \alpha_1 (\dot{y}_1 - \dot{x}_1) = 0; \\ M_1 \ddot{y}_1 + M_3 \ddot{y}_2 - c_1 (x_1 - y_1) - \dots \\ \quad - \alpha_1 (\dot{x}_1 - \dot{y}_1) = 0; \\ m_2 \ddot{x}_2 + c_0 (x_2 - f_2) - c_2 (y_2 - x_2) - \dots \\ \quad - \alpha_2 (\dot{y}_2 - \dot{x}_2) = 0; \\ M_2 \ddot{y}_2 + M_3 \ddot{y}_1 - c_2 (x_2 - y_2) - \dots \\ \quad - \alpha_2 (\dot{x}_2 - \dot{y}_2) = 0. \end{cases} \quad (5)$$

(на відміну від задачі, що розглянута в [6], ми не вводим спеціальних припущень щодо незалежності коливань передньої і задньої частин автомобіля, тому система рівнянь (5) має більший ступінь загальності).

Щоб знайти комплексну частотну характеристику для вертикальних коливань кузова, використаємо метод комплексних амплітуд [6–9], тобто подамо узагальнені переміщення у вигляді

$$q = \bar{q} \exp(i\omega t), \quad (6)$$

аналогічно для висоти нерівностей

$$f = \bar{f} \exp(i\omega t). \quad (7)$$

Підставляючи вирази (6)–(7) у рівняння руху (5), отримуємо систему алгебраїчних рівнянь щодо комплексних амплітуд  $\bar{q}$ :

$$\begin{cases} (i\omega)^2 m_1 \bar{x}_1 + c_0 \bar{x}_1 - \dots \\ -c_1(\bar{y}_1 - \bar{x}_1) - (i\omega)\alpha_1(\bar{y}_1 - \bar{x}_1) = c_0 \bar{f}_1; \\ (i\omega)^2 M_1 \bar{y}_1 + (i\omega)^2 M_3 \bar{y}_2 - \dots \\ -c_1(\bar{x}_1 - \bar{y}_1) - (i\omega)\alpha_1(\bar{x}_1 - \bar{y}_1) = 0; \\ (i\omega)^2 m_2 \bar{x}_2 + c_0 \bar{x}_2 - \dots \\ -c_2(\bar{y}_2 - \bar{x}_2) - (i\omega)\alpha_2(\bar{y}_2 - \bar{x}_2) = c_0 \bar{f}_2 \\ (i\omega)^2 M_2 \bar{y}_2 + (i\omega)^2 M_3 \bar{y}_1 - \dots \\ -c_2(\bar{x}_2 - \bar{y}_2) - (i\omega)\alpha_2(\bar{x}_2 - \bar{y}_2) = 0 \end{cases} \quad (8)$$

Точні розв'язки системи (8) мають громіздкий вигляд, тому доцільно знаходити їх чисельно.

Комплексна частотна характеристика (інакше комплексна передавальна функція) вантажної платформи задається як

$$F(i\omega) = \frac{\bar{y}}{f}. \quad (9)$$

Якщо задана спектральна функція нерівностей  $S_f(\omega)$ , то можна знайти і спектральну функцію переміщень:

$$S_y(\omega) = |F(i\omega)|^2 S_f(\omega). \quad (10)$$

Зауважимо, що спектральна функція нерівностей дороги  $S_f(\omega)$ , що отримана з експериментальної кореляційної функції  $k_f(z)$ , задається незалежно від частоти  $\omega$ , а у функції просторової частоти  $\lambda$ , що має розмірність [1/м]:

$$S_0(\lambda) = \frac{1}{2\pi} \int_0^{\infty} k(z) \cos \lambda z dz.$$

Під час руху із швидкістю  $v$  м/с маємо, що  $\lambda = \omega/v$ , а тому

$$S_f(\omega) = \frac{1}{v} S_0(\omega/v). \quad (11)$$

Отже, перехід від просторової спектральної функції до частотної зводиться до зміни масштабу по координатних осях. Із збільшенням швидкості графік  $S_f(\omega)$  розтягується по горизонталі і стискається по вертикалі, при цьому площа під кривою  $S_f$ , що дорівнює дисперсії  $D_f$ , залишається сталою.

Статистичні характеристики зміщення кузова  $y$  не мають істотної цікавості. Комфортність автомобіля значною мірою залежить від прискорень  $j = d^2y/dt^2$  [13]. Легко бачити, що для цієї величини комплексна передавальна функція визначається виразом [9]:

$$F_j(i\omega) = -\omega^2 F(i\omega). \quad (12)$$

Враховуючи необхідність переробки конструкцій серійних шасі (видовження колісної бази  $L$ , змін гідравліки з умов пониження висоти вантажної платформи) для серійної моделі шасі МАЗ

533603-240 [11] проведено комп'ютерне моделювання в системі MATLAB 7.0.1 [12] коливань передньої частини шасі, насамперед з умов оцінки спектральної функції прискорення кабіни водія і відповідно оцінки доцільності внесення зміни в конструкцію передньої підвіски (корегування жорсткості ресор чи переходу на пневмопідвіску, переходу на низькопрофільні шини – через пониження висоти вантажної платформи).

Кореляційну функцію асфальтобетонної дороги приймемо згідно з [13]

$$k(z) = D_f e^{-\gamma|z|}, \quad (13)$$

де  $D_f = 2.0 \cdot 10^{-4} \text{ м}^2$ ;  $\gamma = 0.13 \text{ 1/м}$ .

Функції (15) відповідає просторова спектральна функція

$$S_0(\lambda) = \frac{2}{\pi} \frac{D_f \gamma}{\gamma^2 + \lambda^2}. \quad (14)$$

Для руху із швидкістю  $v$ , враховуючи (11), маємо часову спектральну функцію

$$S_f(\omega) = \frac{2}{\pi} \frac{D_f \gamma^*}{\gamma^{*2} + \omega^2}, \quad (15)$$

де  $\gamma^* = \gamma v$ .

Тоді спектральна функція прискорення частини кузова

$$S_j(\omega) = S_f(\omega) |F_j(i\omega)|^2 = \omega^4 \frac{2}{\pi} \frac{D_f \gamma^*}{\gamma^{*2} + \omega^2} |F(i\omega)|^2. \quad (16)$$

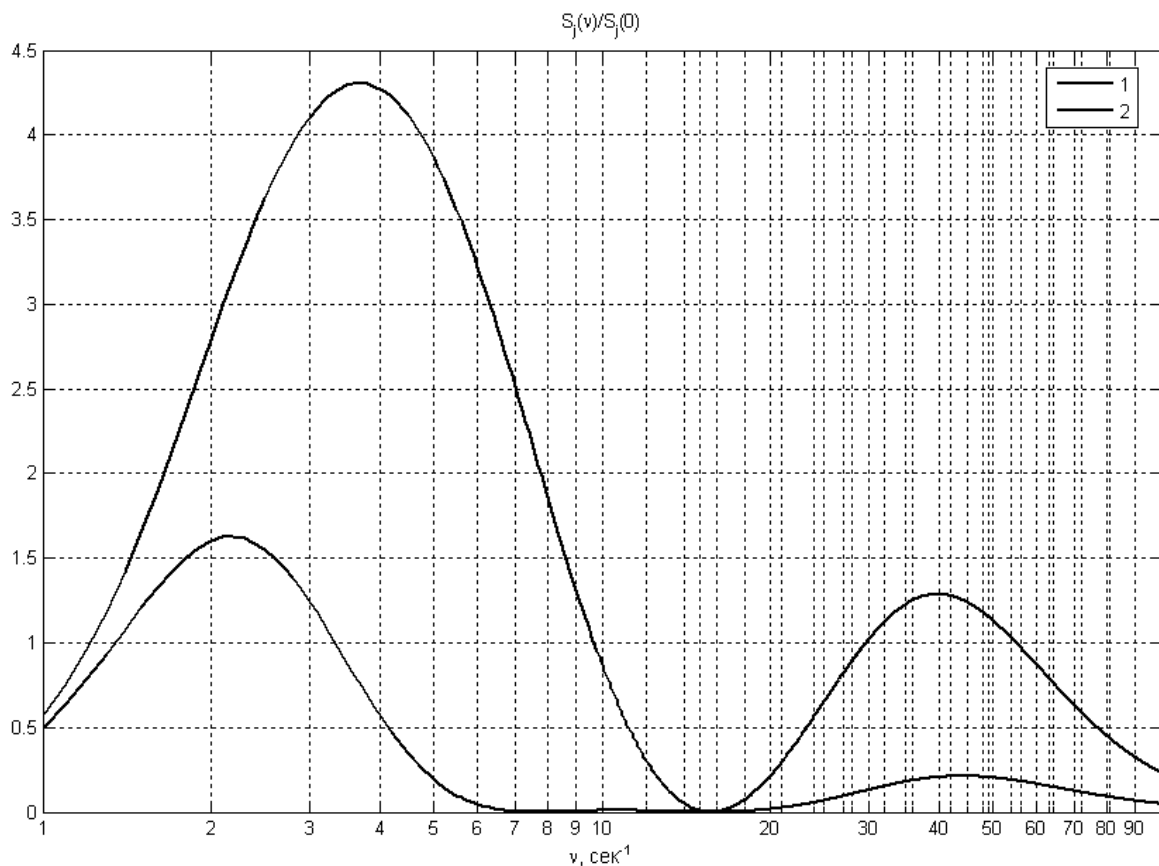


Рис. 2. Спектральна функція прискорення для передньої (1) і задньої (2) частини кузова автомобіля МАЗ 533603-240

Моделювання здійснювали у системі MATLAB 7.0.1 [12]. Результати обчислення функції  $S_j(\omega)$  показані на рис. 2. Обидві криві, що відповідають передній (1) і задній (2) частині кузова, мають характерну “двогорбу форму”, що відповідає припущенню про двомасову модель. Оскільки криві незначно відрізняються одна від одної, то обертовий ступінь вільності дає малий внесок, і надалі ним можна знехтувати.

Дисперсія прискорення  $D_j$  визначається інтегралом (який знаходять числово)

$$D_j = \int_0^{\infty} S_j(\omega) d\omega.$$

У нашому випадку отримано значення

$$D_{j1} = 1.07 \text{ (м/с}^2\text{)}^2, \quad D_{j2} = 0.56 \text{ (м/с}^2\text{)}^2;$$

тобто середньоквадратичні прискорення  $\sigma_j = \sqrt{D_j}$  становлять

$$\sigma_{j1} = 1.03 \text{ (м/с}^2\text{)}, \quad \sigma_{j2} = 0.75 \text{ (м/с}^2\text{)}.$$

**Висновки.** Практично отримані результати підтверджують вписування в допустиму зону комфортабельності руху для водія та вантажів [10] і, відповідно, збереження передньої підвіски ресорного типу (природно зі змінами, що пов’язані пониженням висоти шасі).

Вищенаведена модель дозволяє здійснити оптимізацію довжини колісної бази  $L$  (з умов необхідності під розміщення двох легкових автомобілів на нижньому рівні вантажної платформи, так і з умов мінімізації коливань та динамічних навантажень). Природно, що з врахуванням пружних характеристик зчпного пристрою [4] та динамічного перерозподілу осьових навантажень подана модель розширюється і під комплексне компонування дволанкового автовоза з можливістю відповідної параметричної оптимізації.

1. Яценко Н.Н., Прутчиков О.К. Плавность хода грузовых автомобилей. – М.: Машиностроение, 1969. – 219 с.
2. Ротенберг Р.В. Подвеска автомобиля. – М.: Машиностроение, 1972. – 392 с.
3. Смирнов Г.А. Теория движения колесных машин. – М.: Машиностроение, 1981. – 271 с.
4. Библюк Н.І., Зінько Р.В., Дадак Р.М., Маковейчук О.М. Залежність динамічних характеристик дволанкового автопотяга від пружної характеристики зчпного пристрою // Наук. вісн. НЛТУУ. – Львів: НЛТУУ, 2005. – Вип. 15.4. – С. 90–95.
5. Библюк Н.І., Зінько Р.В., Дадак Р.М., Маковейчук О.М. Залежність динамічних характеристик дволанкового автопотяга при подоланні одиничної перешкоди типу “сходінка” // Наук. вісн. НЛТУУ. – Львів: НЛТУУ, 2006. – Вип. 16.1. – С. 113–119.
6. Бидерман В.Л. Теория механических колебаний: Учеб. для вузов. – М.: Высш. шк., 1980. – 408 с.
7. Павловський М.А. Теоретична механіка: Підручник. – К.: Техніка, 2002. – 512 с.
8. Ландау Л.Д., Лифшиц Е.М. Теоретическая физика: Учеб. пособие: В 10 т. Т. I: Механика. – М.: Наука, 1988. – 216 с.
9. Яблонський А.А., Норейко С.С. Курс теории колебаний. – М.: Высш. шк., 1975. – 248 с.
10. Хачатуров А.А. Динамика системы “дорога – шина – автомобиль – водитель”. – М.: Машиностроение, 1976. – 535 с.
11. [www.maz.by](http://www.maz.by).
12. [www.matlab.com](http://www.matlab.com).
13. Силаев А.А. Спектральная теория поддресоривания транспортных машин. – М., 1963. – 192 с.